

) +1: # % 9 # : % ; % < 9 > 8 ? @ A 8 5 # % % % B : : " ' 5 \$ % # & 9 # % 9 % C

# 重复剪切作用下结构面起伏角度对其力学特性影响研究

魏继红<sup>#</sup> 王武超<sup>#</sup> 杨圆<sup>\$</sup> 朱 峰<sup>#</sup> 范昊天<sup>#</sup>

( # 9 河海大学地球科学与工程学院 江苏 南京 \$###%#;

\$ 9 四川志德岩土工程有限责任公司 四川 成都 : # % ! # )

摘要: 在室内直剪试验的基础上,研究了重复剪切作用下起伏角对结构面变形和强度的影响。采用钢制模具和混凝土材料预制!种起伏角度结构面,分别在"级法向应力下进行:次直剪试验,记录每次剪切过程中的切向应力和法向位移随切向位移的变化。通过对切向应力和法向位移随切向位移变化曲线分析可知,首次剪切时,法向应力和起伏角度越大,结构面剪切破坏方式越容易从滑移破坏过渡为剪断破坏,对于同一种剪切破坏方式,法向应力越大,对结构面磨损或剪断的作用越强烈,峰值剪胀位移越小,起伏角度越大,锯齿被磨损或剪断的高度越大;第\$次剪切开始,不论法向应力和起伏角度如何,结构面的剪切破坏方式基本上都转变为滑移破坏。

关键词: 重复剪切;起伏角度;破坏方式;抗剪强度;残余强度

中图分类号: ' O! " & ° 5! 文献标识码: E 文章编号: # % % % B : : " ( \$ % # & ) % # B % : % B % C

## A study of the influence of asperity inclination angle on the mechanical properties of a structural plane under repeated shear

W-1 6 4 3 8 P<sup>#</sup>, WEO, WL > K 7 3<sup>#</sup>, (EO, (L78RL78<sup>\$</sup>, Q' O ST8P<sup>#</sup>, SEO ' 73X@78<sup>#</sup>

( # 9 4-188, 89 < " \* 31 4- % / # - / " # ) < # & % # / / \* % # & , ' 81 " % ? # % @ / \* 0 % ( , ! " # \$ % # & , = % " # & 0 + \$ # # # % % , > 1 % # " ;

\$ 9 4 % - 1 + " # W 1 % ) / & / 8 3 / - 1 # % " , / # & % # / / \* % # & - 8 H U " # ( , > 1 / # & ) + , 4 % - 1 + " # : # % % ! # , > 1 % # " )

**Abstract:** + 8 XKT ] 7A@ 3^ Z@T>X AKT7N XTAVA , @ 4LT8>T 3^ 7A[TN@R @ 4@87X@8 78P4T 38 ZT^3NI 7X@8 78Z ANNT8PXK 3^ 7 AXNL>XLN74 [478T 7NT TJ7I @TZ5 UXNL>XLN74 [478TA 3^ ^3LN 7A[TN@R @ 4@87X@8 78P4TA 7NT I 7ZT LA@P AXTT4 I 3L4Z 78Z >38>NTXT , 78Z Z@T>X AKT7N XTAVA 7NT >38ZL>XTZ A@ X@ TA L8ZTN ^@T 83NI 74 ANNTAATA5 EX XKT A7I T X@ T , AKT7N ANNTAA 78Z 83NI 74 Z@ [47>TI T8X 7NT NT>3NZTZ5 ' KT 7874RA@ 3^ AKT7N ANNTAABK3N@/38X74 Z@ [47>TI T8X 78Z \TNX@ 74 Z@ [47>TI T8XBK3N@/38X74 Z@ [47>TI T8X >LN\T AK3\_A XK7X XKT 83NI 74 ANNTAA 78Z 7A[TN@R @ 4@87X@8 78P4T ]T>3I T 47NPTN ^@AXR 78Z XKT AXNL>XLN74 [478T @ T7A@TN X3 ]T >LX5 S3N XKT A7I T AKT7N ^7@LNT AXR4T , @ XKT 83NI 74 ANNTAA @>NT7ATA , XKT AXNL>XLN74 [478T \_@4 ]T \_3N8 3N >LX I 3NT ATN@LA4R , 78Z XKT I 7J@ LI \TNX@ 74 Z@ [47>TI T8X @ 43\_TN5 1^ XKT 7A[TN@R @ 4@87X@8 78P4T @>NT7ATA , XKT V@PB/7P [7XNT8 \_@4 ]T \_3N8 3N >LX I 3NT ATN@LA4R5 SN3I XKT AT>38Z AKT7N X@ T , XKT AXNL>XLN74 [478T @ \_3N8 T\TNR X@ T 78Z @ 83X 7^T>XTZ ]R XKT 83NI 74 ANNTAA 78Z 7A[TN@R @ 4@87X@8 78P4T5

**Keywords:** NT[T7XTZ AKT7N; 7A[TN@R @ 4@87X@8 78P4T; ^7@LNT AXR4T; AKT7N ANNT8PXK; NTA@ZL74 ANNT8PXK

目前对于结构面的研究主要集中于对自然特征的 描述及其力学性质的分析上。对于自然特征,由于结

收稿日期: \$ % # F B % " B ! ; 修订日期: \$ % # F B % F B # ;

基金项目: 国家自然科学基金项目资助( ! # # % \$ # : \$ ; ! # : F \$ \$ " & )

第一作者: 魏继红( #CF: B ) 女, 博士, 副教授, 主要从事岩土体稳定性研究工作。-B! 7@: \_-K^@AKM KKL5 TZL5 >8



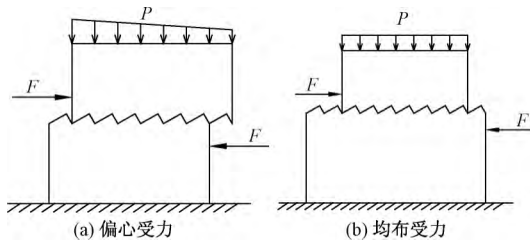


图2 试样偏心受力(a)和均布受力(b)示意图  
 Fig.2 Schematic diagram showing (a) the specimen eccentric force and (b) uniformly distributed force

开始读数,每当切向变形约 9" 11 时便记录 # 次数据,直至剪切位移为 #% 11。一轮剪切完成之后,轻轻将试样与剪切盒一起移出,旋转 #&%c,重新放入直剪仪中,如此重复直至完成:次剪切,之后将剪切盒取出,至此 # 个试样的直剪试验彻底完成,随后准备下一个试样的剪切。

高,所以只选择研究低法向应力下反复剪切过程中结构面力学性质的变化规律。

由图! a: 可知,无论起伏角度大小如何,结构面切向应力随剪切位移的增加都显示出先增大后减小至某一值并趋于稳定的趋势,同时伴随着结构面的法向剪胀现象。另外,在相同的法向应力下,结构面起伏角度越大,剪切过程中的峰值切向应力越大。由图!(7) 中可以发现,起伏角度为 #%c \$%c ;%c 时,结构面切向应力B切向位移曲线表现得相对平缓,切向应力在达到峰值前后的一段位移内,曲线形式极其平缓,切向应力值跟峰值之间差距非常小,该区段的宽度在 \$ a \$9" 11,之后曲线才缓慢下降至残余值。另外,结构面切向应力峰值跟残余值之间的差距也比较小,分别为 %9 FF %9 C" %9 CF GD7,对应图!( ) 中,结构面剪胀位移最大值分别为 #9"; \$9 &\$ ;9"! 11,相对完整锯齿高度分别减小了 #%9"; h, # \$9 # "h, #&9 \$! h,由此推断结构面的剪切破坏方式为滑移破坏,并且起伏角度越大,磨损作用越强烈;起伏角度为 ! "c 时,结构面切向应力随切向位移的增大缓慢增大到峰值之后,出现大幅下降,说明在切向应力的作用下试样先是沿着结构面缓慢爬坡,当切向应力足够大时,则剪断锯齿顶

图3 试样成品图  
 Fig.3 Specimen map

本文主要着眼于重复剪切作用下探讨起伏角度对试样残余强度的影响因素,在第 # 次剪切过后设置的锯齿便会被剪坏,试样和剪切盒旋转 #&%c 后进行第 \$ 次剪切时锯齿对残余强度的影响就不是控制性因素了,在 \$ a: 次的剪切中更关心反复剪切对试样残余强度的影响。基于这种考虑,本文把 \$ 个剪切方向不做区分,而是从整体分析的角度考虑重复剪切对结构面强度的影响。

## 2 起伏角度对结构面剪切破坏机理的影响

由于试样要承受多次剪切,而且试样强度不是很

图4 0.39 MPa 法向应力下第 1 次剪切时变形曲线  
 Fig.4 Deformation of the structural plane under the normal stress of 0.39 MPa and the 1<sup>st</sup> shear

部 ,然后切向应力就陡然变小 ,因此可判断 ,此时结构面的破坏方式为上部剪断破坏 ,图 1( ) 中 ,法向位移最大值为  $9.11$  ,比完整锯齿  $11$  的高度减小近  $20\%$  ,也足以说明上述论断的正确性。从图 1(7) 中可以看到 ,起伏角度为  $30^\circ$  时 ,结构面切向应力缓慢增加至峰值后又缓慢下降 ,全程没有出现陡升或陡降的现象 ,并且抗剪强度和剪切后期的残余强度相差也不大 ,对应图 1( ) 中法向位移的最大值 ,分别为  $9.11$  和  $9.11$  ,斜线 “<” 后面的值为完整锯齿的高度 ,下同) ,可见锯齿高度减少量很小 ,由此推断此时结构面的剪切破坏方式为滑移破坏;起伏角度为  $45^\circ$  时 ,剪切曲线变陡了许多 ,结构面切向应力增加至峰值及减小至残余值的速率都有所增大 ,抗剪强度与残余强度的差值分别为  $9.11$  和  $9.11$  ,据此分析认为 ,此时结构面发生了脆性破坏 ,剪切破坏方式为剪断破坏 ,另外从图 1( ) 中看到法向位移最大值分别为  $9.11$  和  $9.11$  ,锯齿高度减少  $20\%$  ,进一步证明结构面被上部剪断。

位移随切向位移的变化规律与图 1 具有相似性 ,起伏角度较小时 ,结构面剪切曲线比较平缓 ,抗剪强度与残余强度之间的区别不大 ,法向位移最大值与完整锯齿之间的高度差值也较小 , $30^\circ$  和  $45^\circ$  起伏角分别为  $9.11$  和  $9.11$  ,共同体现为磨损破坏;起伏角度较大时 ,结构面抗剪强度与残余强度之间差值变大 , $60^\circ$  和  $75^\circ$  锯齿高度减小量分别为  $9.11$  和  $9.11$  ,共同体现为剪断破坏 ,起伏角越大 ,锯齿剪断量越大。

图 5 0.78 MPa 法向应力下第 1 次剪切时变形曲线  
Fig.5 Deformation of the structural plane under the normal stress of 0.78 MPa and the 1<sup>st</sup> shear

图 : 中法向应力为  $9.11$  MPa 时 ,切向应力和法向

图 6 1.17 MPa 法向应力下第 1 次剪切时变形曲线  
Fig.6 Deformation of the structural plane under the normal stress of 1.17 MPa and the 1<sup>st</sup> shear

限于篇幅 , $9.11$  MPa 与  $9.11$  MPa 法向应力下结构面第 # 次剪切时切向应力和法向位移随切向位移变化曲线将不再列出。从实验数据结果来看 ,随起伏角度不断增大 ,结构面抗剪强度也不断增大 ,同时抗剪强度对应的切向位移值也不断提前 ,由  $11$  左右逐渐提前至约  $9.11$  ,说明起伏角度越大 ,爬坡效应越弱 ,切齿效应越强 ,结构面剪切破坏方式随着起伏角的增大逐渐由滑移破坏变为剪断破坏 ,而且切齿效应加强 ,结构面切向应力增加的就越快 ,因此起伏角度越大 ,结构面切向应力到达峰值前的弹性阶段斜率就越大 ,到达峰值以后 ,切向应力下降的速率也随起伏角度的增大而加快。

综上所述,第*n*次剪切过程中,相同法向应力下,起伏角度越大,结构面越容易从磨损破坏转变为剪断破坏,对应结构面锯齿被磨损或剪断的高度也越大,说明起伏角越大,结构面被磨损或剪断的程度越严重。对于 $\alpha_1$ 起伏角和 $\alpha_2$ 起伏角,结构面剪切破坏方式在各法向应力下分别保持磨损破坏和剪断破坏的方式不变。

第*n*次剪切过程中,为分析不同法向压力下不同起伏角度对结构面剪切破坏的影响,将第*n*次剪切时不同起伏角度结构面在不同法向应力下的切向应力-切向位移曲线绘制于图7中。

从图7(a)中可以发现,起伏角度从 $\alpha_1$ 增

加到 $\alpha_2$ 的过程中,结构面抗剪强度逐渐减小,切向应力-位移曲线也变得越发平缓,剪切曲线最初弹性阶段的斜率也相应减小,主要是因为第*n*次与第*n-1*次的剪切方向相反,起伏角度越小,第*n*次剪切时的爬坡角度就越陡,从而导致第*n*次剪切时,若要达到相同位移,初始起伏角度越小则所需切向应力值基本就越大,抗剪强度便随起伏角度的减小而增大;起伏角度从 $\alpha_2$ 增加到 $\alpha_1$ 时,抗剪强度又有所增加,并且比 $\alpha_1$ 起伏角的抗剪强度还要大一些,因为第*n*次剪切时, $\alpha_1$ 起伏角结构面被剪断破坏,断裂表面经受的磨损作用相对较小,剪断后的棱角相对尖锐,粗糙度也相对增大,

图7 不同起伏角度第2次剪切时切向应力-位移曲线

Fig.7 Shear stress and displacement of the structural plane with different shear angles in 2<sup>nd</sup> shear

因此第 \$ 次剪切时抗剪强度有所增强。整体看来,结构面抗剪强度与残余强度之间的差值较小,例如图 F ( 7) 中 # % c 到 ! " c 起伏角分别为 % 9 " ! , % 9 ! : , % 9 # F , % 9 " ; GD7 因此第 \$ 次剪切时,结构面剪切破坏方式不再受起伏角度的影响,都为滑移破坏。

从图 F ( Z) 中可以看出,对于 # % c 和 \$ % c 起伏角结构面,位移较小时,起伏角度越大,达到相同位移所需切向应力越小,剪切曲线初始弹性阶段的斜率越小,但是峰值切向应力却随起伏角增大从 # 9 # & GD7 增加到 # 9 ! ! GD7 因为这两种起伏角度下结构面第 # 次剪切方式均为滑移破坏,都是以爬坡效应为主,第 \$ 次剪切方向与第 # 次相反,所以初始起伏角度越大,第 \$ 次剪切时爬坡角度就越小,达到相同位移所需爬坡力也越小,但是又由于 \$ % c 起伏角结构面锯齿高度相对较高,结构面在剪切爬行过程中切向应力不断增大,峰值最终超过了 # % c 起伏角的抗剪强度。另外 # % c 起伏角结构面抗剪强度与残余强度之间的差值为 % 9 # F GD7 , 小于 \$ % c 起伏角结构面的差值 % 9 ! : GD7 , 证明起伏角度越大,磨损破坏作用越强烈;对于 ; % c 和 ! " c 起伏角结构面,也是起伏角度越大,抗剪强度越大,主要因为第 # 次剪切时,该法向压力下,两种结构面都被剪断破坏,但是 ! " c 起伏角结构面剪断作用更强烈,剪断面面积更大,残余结构面的粗糙度相对较大,因此此次剪切时结构面抗剪强度大于 ; % c 起伏角结构面。

从图 F ( T) 中可以看到, # % c 到 ; % c 起伏角结构面,随剪切位移的增加,切向应力都呈先增大至最大值后缓慢下降至某一值后趋于稳定的趋势, ! " c 起伏角结构面切向应力却随位移的增加不断增大,体现为切向应力强化现象,因为大起伏角度结构面在高法向应力下,第 # 次剪切时,锯齿被剪断之后会产生较多碎屑物,在第 \$ 次剪切过程中的持续碾压作用下,碎屑物被磨碎后重新排列在结构面缝隙内形成一个强化夹层,导致剪切曲线出现这样的趋势。总而言之,各剪切曲线中抗剪强度与残余强度之间的差值都比较小,切向应力 B 位移曲线相对平滑,因此判断结构面剪切破坏方式均为磨损破坏,不受起伏角度的影响。

由以上 \$ 次剪切的分析情况来看,第 # 次剪切时的剪断及磨损作用,使结构面起伏差变小,表面形态变得圆滑,从第 \$ 次剪切开始,不同起伏角度结构面均被磨损破坏,只不过磨损程度有所差别,因此这里不再对第 ; 次及以后的剪切过程进行具体分析,仅将剪切过程中不同剪切次序时的结构面强度值及剪胀位移峰值等列于表 # 中以供参考,以 # 9 " : GD7 法向应力下的值

为例(其中第 # 次剪切时,前一次剪切峰值法向位移为完整锯齿的高度)。从表 # 中可以看出,同一次剪切中,在起伏角度较小范围内( # % c a ; % c ) , 峰值法向位移随起伏角度的增加而增加,主要是因为起伏角度越大,锯齿高度越高,但是相邻次序间峰值法向位移的差值却变大,说明起伏角越大,结构面被磨损或剪断的程度越大;起伏角度较高( ! " c) 时,峰值法向位移又出现减小的现象,因为第一次剪切时,切齿效应非常强,以致锯齿几乎从根部剪断,后面几次剪切过程中,结构面的剪胀现象也就变得非常小。

从图 & 可以看到, # % c 到 ; % c 起伏角结构面残留锯齿高度越来越高,同表 # 中显示的第 : 次剪切时峰值法向位移值的变化相吻合,分别为 % 9 ; # , % 9 # F \$ , % 9 & ! ! ! ; 个数值之间差距较小,但是剪切之前的完整锯齿高度差值较大,分别为 # 9 # # ; 9 \$ # ! 9 ; ; ! ! , 说明起伏角度越大,结构面被磨损或剪断的程度越大,最终导致 : 次剪切后结构面表面形态差距减小,同表 # 中不同起伏角度下,相邻剪切次序间峰值法向位移的变化规律相一致;图 & ( Z) 中 ! " c 起伏角结构面的表面锯齿形状变得很不明显,因为第 # 次剪切时,表面锯齿被从根部剪断,后期再经历多次剪切后,表面形态变得越发平整,表 # 中,第 : 次峰值剪胀位移仅 % 9 % # ! ! 。

图 8 1.56 MPa 法向应力下剪切 6 次后表面破坏形态

Fig. 8 Surface failure after 6 times repeated shear under the normal stress of 1.56 MPa

### 3 起伏角对结构面抗剪强度及残余强度影响

影响结构面抗剪强度很重要的两个参数即是结构面黏聚力 - 和内摩擦角  $\varphi$  ,目前最常用的一种求值方法即是莫尔-库伦准则,前提是结构面在进行不同法向应力下的剪切试验时表面形态必须一致,因只有第 # 次剪切时各起伏角度结构面可以达到这样的要求,第 #

表1 1.56 MPa法向应力下结构面强度和位移

Table 1 Strength and displacement of different structural planes under the normal stress of 1.56 MPa

剪切次数	起伏角度 $\alpha$ (°)	抗剪强度 $\tau_{1.71} < GD7$	残余强度 $\tau_{1.71} < GD7$	$(\tau_{1.71} H \tau_{1.71}) < GD7$	前一次峰值法向位移 $\delta < l$	此次峰值法向位移 $\delta < l$	$(\delta / H) < l$	主要剪切破坏方式
第#次	#%	\$9 %:	%9 C#	#9 #"	#9 F#	#9 %\$	%9 :C	滑移破坏
	\$%	\$9 #%	%9 FC	#9 ;#	;9 \$#	#9 C#	#9 ;%	上部剪断破坏
	;%	\$9 ;&	%9 :C	#9 :C	!9 ;;	\$9 #;	\$9 %\$	上部剪断破坏
	!"	\$9 F"	#9 ##	#9 :!	"9 %%	%9 &#	!9 #C	根部剪断破坏
第\$次	#%	#9 ":	%9 &#	%9 F"	#9 %\$	%9 &F	%9 #"	滑移破坏
	\$%	#9 !!	%9 C#	%9 ";	#9 C#	#9 ;;	%9 &#	滑移破坏
	;%	#9 \$:	%9 &#	%9 !"	\$9 #;	#9 &F	%9 \$:	滑移破坏
	!"	#9 "%	#9 %%	%9 "%	%9 &#	%9 !C	%9 ;\$	滑移破坏
第;次	#%	#9 ;;	#9 %F	%9 \$:	%9 &F	%9 ;;	%9 !	滑移破坏
	\$%	#9 \$\$	%9 &\$	%9 !%	#9 ;;	#9 ;!	%9 \$C	滑移破坏
	;%	#9 %C	%9 &;	%9 \$:	#9 &F	#9 ";	%9 ;!	滑移破坏
	!"	#9 ;&	#9 %F	%9 ;#	%9 !C	%9 \$!	%9 \$"	滑移破坏
第!次	#%	#9 #&	#9 %#	%9 #F	%9 ;;	%9 !&	%9 #"	滑移破坏
	\$%	#9 #&	%9 C#	%9 \$#	#9 ;!	#9 #&	%9 \$&	滑移破坏
	;%	#9 %\$	%9 &&	%9 #!	#9 ";	#9 \$C	%9 \$!	滑移破坏
	!"	#9 #:	#9 %&	%9 %&	%9 \$!	%9 #;	%9 ##	滑移破坏
第"次	#%	#9 #;	%9 C!	%9 #C	%9 !&	%9 ;&	%9 #%	滑移破坏
	\$%	#9 %"	%9 C!	%9 ##	#9 #&	%9 CF	%9 #"	滑移破坏
	;%	%9 C&	%9 &%	%9 #&	#9 \$C	#9 %#	%9 &#	滑移破坏
	!"	#9 #;	#9 #%	%9 ;;	%9 #;	%9 "%	%9 %&	滑移破坏
第:次	#%	#9 %:	%9 C#	%9 #"	%9 ;&	%9 ;#	%9 %F	滑移破坏
	\$%	%9 CC	%9 C;	%9 %:	%9 CF	%9 FS	%9 \$"	滑移破坏
	;%	%9 C"	%9 F;	%9 \$\$	#9 %#	%9 &!	%9 #F	滑移破坏
	!"	#9 #&	#9 %C	%9 ;;	%9 "%	%9 %#	%9 !	滑移破坏

次剪切之后各起伏角度结构面粗糙度都发生变化,所以文中仅根据结构面的抗剪强度与法向应力关系求得第#次剪切时各起伏角度结构面的 $\tau - \sigma$ 值,依照前面对结构面抗剪强度的分析,将不同起伏角度结构面第#次剪切时的法向应力与抗剪强度关系绘制于图C中,并进行线性拟合,可以看到 $\alpha = 10^\circ$ 起伏角结构面的黏聚力和内摩擦角都是最小的,分别为 $\tau = 0.797 + 0.876\sigma$ 和 $\tau = 0.728 + 0.792\sigma$ ;随着起伏角的增大,各个参数值不断增加, $\alpha = 45^\circ$ 起伏角时最大,黏聚力为 $\tau = 1.257 + 1.050\sigma$ ,内摩擦角为 $\tau = 1.006 + 0.936\sigma$ 。

从图C中可以看出,残余强度随起伏角度的增加多数呈先减小后增加的趋势,主要因为起伏角度较小时,随着起伏角度的增加,结构面被磨损的作用增强,剪切过程中产生的碎屑也能更多地填充在结构面表面锯齿之间,使结构面表面形态变得平缓,残余强度有所减小;第#次剪切后,锯齿被剪断之后会产生较多碎屑物,且颗粒粒径大小不均匀,这时粗颗粒对强度的影响占主要地位,在其后重复剪切过程中,粗颗粒被剪碎,在法向压力的作用下,颗粒组持续被碾压和调整,碎屑物被磨碎后重新排列在结构面缝隙内形成一个颗粒密度要高于第#次剪切时形成的剪切带。从微观角度上看,粗颗粒被反复剪切碾压后颗粒的粒径级配越来

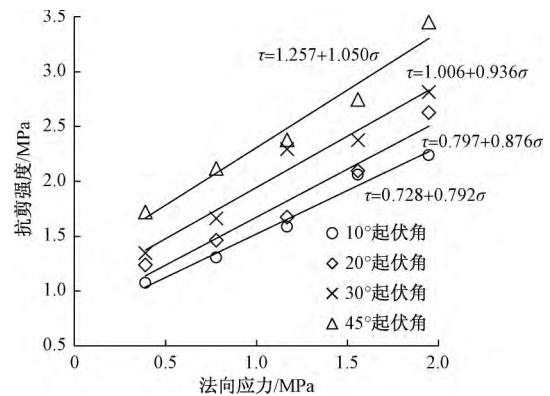


图9 结构面在不同起伏角度下的 $\tau - \sigma$ 关系图  
Fig. 9 Relationship between the shear strength and normal stress of the structural plane at different asperity inclination angles

越好,使得剪切面的颗粒排列趋于密实,因此残余强度出现减小后又增加的现象。但是,不同法向应力下不同剪切次序时残余强度的这种变化规律并不具有一致性,这是因为在不同法向应力下,不同起伏角的试样其各向异性很强,因此会有个体上的差异,但从大量的试样剪切结果来看,在一定范围内试验结果满足残余强度先减小后增加的规律。

### 4 结论

(#) 起伏角越大,第 # 次剪切过程中的爬坡效应越弱,切齿效应越强,因此就越容易发生剪断破坏,与第 \$ 次剪切时的抗剪强度的差值越大;经历过第 # 次剪切过程的磨损或剪断作用,结构面表面形态都变得平滑,第 \$ 次剪切开始结构面的破坏方式不再受起伏角度的影响,均为滑移破坏。

(\$) 第 # 次剪切时,起伏角越大,结构面抗剪强度越大,呈线性增加趋势,结构面的强度参数 -  $\varphi$  值也越大;第 \$ 次剪切开始,抗剪强度随起伏角增大先减小后增大,;%起伏角时最小,剪切次数越多,各起伏角结构面抗剪强度越接近。

(;) 结构面残余强度随起伏角的增加不具有系统的变化规律。

#### 参考文献:

[ # ] i 7W38 O5 \*T\@\_ 3^ 8T\_ AKT7NBXNT8PKK >N@TN@8 ^3N N3>? -3@XA [6]5 -8P@TTN@8P , T343PR ,#CF; ,F ( ; ) : \$&F H ; ; \$9

[ \$ ] i 78Z@ U g , LI AZT8 E g , i 7W38 O \*5 S3L8Z7I T8X74A 3^ N3>? -3@X ZT^3NI 7X@38 [6]5 18XTN87X@8874 63LN874 3^ \*3>? GT>K78@A 78Z G@8@P U>@T8>TA / , T3I T>K78@A E]AXN7>XA #C&; \$%( : ) : \$! C H \$: &9

[ ; ] EI 7ZT@ i ,U7T] U5 g38AX@LX@T I 3ZT4A 3^ N3>? -3@XA [g]<<DN3>TTZ@8PA 3^ XKT 18XTN87X@8874 URI [3A@LI 38 \*3>? 63@XA5 . 3T8 ,O3N\_7R #CC%: "&# HC!9

[ ! ] 杜守继,朱建栋,职洪涛.岩石节理经历不同变形历史的剪切试验研究 [6]5 岩石力学与工程学报, \$%: \$"( #) : " : H : %9 [ ] O U 6 , Q' O 6 ) , Q' 1 ' '5 UKT7N ' TAXA 38 \*3>? 63@XA L8ZTN )@^TNT8X UKT7N )T^3NI 7X@8 ' @X3N@TA [6]5 gK@TAT 63LN874 3^ \*3>? GT>K78@A 78Z -8P@TTN@8P , \$%: , \$"( #) : " : H : %9 ( @ gK@TAT ) ]

[ " ] 李海波,冯海鹏,刘博.不同剪切速率下岩石节理的强度特性研究 [6]5 岩石力学与工程学报, \$%: \$" (#) : \$! ; " H \$! ! %9 [ . 1 ' i , S-O , ' D , . 10 i 5 UXLZR 38 UXNT8PKK i TK7\@3NA 3^ \*3>? 63@XA L8ZTN )@^TNT8X UKT7N@8P )T^3NI 7X@8 2T43>@@TA [6]5 gK@TAT 63LN874 3^ \*3>? GT>K78@A 78Z -8P@TTN@8P , \$%: , \$" (#) : \$! ; " H \$! ! %9 ( @ gK@TAT ) ]

[ : ] 周莲君,彭振斌,何志明,等.结构面剪切特性的试验与数值模拟分析 [ \* ] 5 科技导报, \$%C , \$F ( ! ) : ; # H ; "9 [ Q' +O . 6 , D-O , Q i , ' - Q G , / 3 " 5 ' TAX ^3N UKT7N gK7N7>XTN@AX@A 3^ UXNL>XLN74 D478T 78Z 1XA OLI TN@74 U@ L47\@38 E874RA@ [ \* ] 5 U>@T8>T / ' T>K8343PR \*T\@\_ , \$%C , \$F ( ! ) : ; # H ; "9 ( @ gK@TAT ) ]

图 10 不同剪切次数下结构面残余强度随起伏角度变化

Fig. 10 Variation in the residual strength of the structural plane with the asperity inclination angle



[ F ] ' 78P . 8 D@P g73 ,(38P QK3L5 OLI TN@74 A@ L47X@8 ^3N Z@T>X AKT7N XTAX 3^ -3@X @ N3>? I 7AA [6]5 1 6 11 7PT , , N7[K@A 78Z U@P874 DN3>TAA@P , \$%#% , #: ;CH!"9

[ & ] 吴绵拔<sup>5</sup> 加载速率对岩石断裂韧度的影响 [6]5 力学与实践 #C&:(!): \$# H\$;9 [WO G i 5 -^T>X 3^ .37Z@P \*7XT 38 SN7>XLNT '3LPK8TAA 3^ \*3>? [6]5 GT>K78@A @ -8P@TTN@P ,#C&:(!): \$# H\$;9 ( @ gK@TAT ) ]

[ C ] 金济山,石泽全,方华,等<sup>5</sup> 在三轴压缩下大理岩循环加载试验的初步研究 [6]5 地球物理学报, #CC# , ;!(!): !&& H!C!9 [61O 6 U , U' 1 O k , SEO, ' , /3 " ,5 E [NT4@ @B7NR UXLZR 38 gR>4@ .37Z@P -J[TN@ T8XA 3^ G7N]4T O8ZTN 'N@J@74 g3I [NTAA@8 [6]5 gK@TAT 63LN874 3^ , T3[KRA@A , #CC# , ;!(!): !&& H!C!9 ( @ gK@TAT ) ]

[#%] 乔河 柴华友<sup>5</sup> 爆炸作用下花岗岩动态本构关系试验研究 [6]5 岩石力学与工程学报, #CC: , #"( 增刊): !!: H!"#9 [k1E+ ' g' E1' (5 -J[TN@ T8X74 UXLZR 3^ , N78@T ' A g38AX@LX@T \*T47X@8 L8ZTN i47AX@P .37Z@P [6]5 gK@TAT 63LN874 3^ \*3>? GT>K78@A 78Z -8P@TTN@P ,#CC: , #"( UL]: !!: H!"#9 ( @ gK@TAT ) ]

[##] 信礼田,刘建武,何翔<sup>5</sup> 高应变速率下石灰岩的力学特性 [6]5 岩石力学与工程学报, #CC& , #F( 增刊): F&% H F&;9 [j 1O . ' , .1O 6 W , ' - j 5 ' KT GT>K78@74 DN3[TN@A 3^ . @ TAX38T L8ZTN ' @PK UMN7@ \*7XT [6]5 gK@TAT 63LN874 3^ \*3>? GT>K78@A 78Z -8P@TTN@P , #CC& , #F ( UL]: F&% H F&;9 ( @ gK@TAT ) ]

[#\$] 李宁 陈文玲 张平<sup>5</sup> 动荷作用下非贯通裂隙介质的强度性质 [6]5 自然科学进展, \$%#% , #%( ##): #C H #%;!9 [ .1 O , g' -O W . , Q' EO, D5 UMN8PK DN3[TN@A 3^ ' KN3LPK SN7>XLNTZ GTZ@ L8ZTN )R87I @ .37Z@P [6]5 DN3PNTAA @ O7XLN74 U>@T8>T , \$%#% , #%( ##): #C H #%;!9 ( @ gK@TAT ) ]

[#;] 邵鹏<sup>5</sup> 断续节理岩体中弹性波动力效应研究 [ ] 5 徐州: 中国矿业大学, \$%#;9 [U' E+ D5 UXLZR 38 )R87I @ -^T>X 3^ -47AX@ W7\T @ 18XTNI @XT8X 63@XTZ \*3>? G7AA [ ] 5 j LVK3L: gK@7 O8@TNA@R 3^ G@P 78Z ' T>K8343PR \$%#;9 ( @ gK@TAT ) ]

[#!] 徐建光 张平 李宁<sup>5</sup> 循环荷载下断续裂隙岩体的变形特性 [6]5 岩土工程学报, \$%#& , ;%(:): &%\$ H &%;9 [j O 6 , , Q' EO, D , .1 O5 )T^3NI 7X@8 DN3[TN@A 3^ \*3>? G7AA \_@K 18XTNI @XT8X gN7>?A L8ZTN gR>4@ .37Z@P [6]5 gK@TAT 63LN874 3^ , T3XT>K8@74 -8P@TTN@P \$%#& , ;%(:): &%\$ H &%;9 ( @ gK@TAT ) ]

[#" ] 胡盛斌,邓建,马春德,等<sup>5</sup> 循环荷载作用下含缺陷岩石破坏特征试验研究 [6]5 岩石力学与工程学

报, \$%#C \$&( # \$): \$!C% H \$!C"9 [ ' O U i , ) , -O , 6 , GE g ) , /3 " ,5 -J[TN@ T8X74 UXLZR 3^ S7@LNT gK7N7>XTN@A@A 3^ \*3>? g38X7@P S47\_ L8ZTN gR>4@ .37Z@P [6]5 gK@TAT 63LN874 3^ \*3>? GT>K78@A 78Z -8P@TTN@P , \$%#C , \$&( # \$): \$!C% H \$!C"9 ( @ gK@TAT ) ]

[#: ] 李宁 程国栋 谢定义<sup>5</sup> 西部大开发中的岩土力学问题 [6]5 岩土工程学报, \$%#% , # ; (:): \$: & H \$F\$9 [ .1 O , g' -O , , ) , j 1- ) (5 , T3I T>K78@A )\T\T43[I T8X @ g@ @ g38AML>X@8 @ WTAXTN8 gK@7 [6]5 gK@TAT 63LN874 3^ , T3XT>K8@74 -8P@TTN@P , \$%#% , \$ ; (:): \$: & H \$F\$9 ( @ gK@TAT ) ]

[#F] 夏才初 孙宗硕 潘长良<sup>5</sup> 节理表面波纹度对其闭合性质的影响 [6]5 工程地质学报, #CC" , ; (\$): !F H" ;9 [j 1E g g , UOO Q k , DEO g . 5 ' KT -^T>X 3^ ULN^7>T W7\@TAA 3^ 63@XA 38 ' KT@ g43ALNT i TK7\@NA [6]5 63LN874 3^ -8P@TTN@P , T343PR #CC" , ; (\$): !F H" ;9 ( @ gK@TAT ) ]

[#&] 李海波 刘博 冯海鹏,等<sup>5</sup> 模拟岩石节理试样剪切变形特征和破坏机制研究 [6]5 岩土力学, \$%#& \$C (F): #F!# H #F"\$9 [ .1 ' i , .1O i , S-O , ' D , /3 " ,5 UXLZR 3^ )T^3NI 7]@R i TK7\@LN 78Z S7@LNT GT>K78@A ]R U@ L47X@P \*3>? 63@XA U7I [4T L8ZTN )@TNT8X .37Z@P g38Z@@8A [6]5 \*3>? 78Z U3@ GT>K78@A , \$%#& , \$C ( F): #F!# H #F"\$9 ( @ gK@TAT ) ]

[#C] 曹文贵 王江营 翟友成<sup>5</sup> 考虑残余强度影响的结构面与接触面剪切过程损伤模拟方法 [6]5 土木工程学报, \$%#\$ , !"( !): #F H # ; \$9 [gE+ W , , WEO, 6 ( , Q' E1 ( g5 UXLZR 3^ U@ L47X@8 GTXK3Z ^3N UKT7N )T^3NI 7X@8 3^ \*3>? UML>XLN74 D478TA 78Z 18XTN^7>TA \_@K g38A@TN7X@8 3^ \*TA@L74 UMN8PK [6]5 gK@7 g@ -8P@TTN@P 63LN874 , \$%#\$ , !"( !): #F H # ; \$9 ( @ gK@TAT ) ]

[ \$% ] 高旭 晏鄂川 崔学杰,等<sup>5</sup> 应变速率对含砾滑带土抗剪强度影响研究 [6]5 水文地质工程地质, \$%#: , ! ; (#): C! H C&9 [ , E+ U , (EO - g , gO1 j 6 , /3 " ,5 18^4LT8>T 3^ UMN7@ \*7XT X3 XKT UKT7N UMN8PK 3^ g38P43I TN7X@ U4@P@P@38T U3@ [6]5 ' RZN3PT343PR / -8P@TTN@P , T343PR , \$%#: , ! ; (#): C! H C&9 ( @ gK@TAT ) ]

[# \$ ] 史卜涛,张云,王哲成,等<sup>5</sup> 不同固结状态下黏土抗剪强度与剪切速率的关系 [6]5 水文地质工程地质, \$%#" , ! \$ (:): "C H :!9 [U' 1 i ' , Q' EO, ( , WEO, Q g , /3 " ,5 UKT7N UMN8PK 78Z UKT7N \*7XTA 3^ g47R U3@A L8ZTN )@TNT8X g38A34@Z7X@8 UX7XTA [6]5 ' RZN3PT343PR / -8P@TTN@P , T343PR , \$%#" , ! \$ (:): "C H :!9 ( @ gK@TAT ) ]

责任编辑: 张明霞